

NOVAS TÉCNICAS DE RMN E OS DESLOCAMENTOS QUÍMICOS DOS ÁTOMOS DE  $^1\text{H}$  E  $^{13}\text{C}$  DA ISOFLAVANA DUARTINA

Mário Geraldo de Carvalho e Raimundo Braz Filho\*

Departamento de Química, Instituto de Ciências Exatas, Universidade Federal Rural do Rio de Janeiro, 23851-970, Seropédica - RJ

Recebido em 11/5/92; cópia revisada em 29/9/92.

The proton and carbon-13 nuclear magnetic resonance (NMR) spectra of 3',7-dihydroxy-2',4',8-trimethoxyisoflavan (duartin) and its diacetate derivative have been unambiguously assigned by the homonuclear ( $^1\text{H} \times ^1\text{H}$ -COSY) and heteronuclear [ $^1\text{H} \times ^{13}\text{C}$ -COSY: modulated with  $^1\text{J}_{\text{CH}}$  and  $^3\text{J}_{\text{CH}}$  ( $n=2$  and 3, COLOC)] 2D shift-correlated and NOE difference spectra.

**Keywords:**  $^1\text{H}$  and  $^{13}\text{C}$  NMR techniques; duartin; isoflavan.

## INTRODUÇÃO

A isoflavana duartina (**1**) foi isolada de *Machaerium acutifolium*, *M. mucronulatum*, *M. opacum* e *M. villosum*<sup>1</sup>. A constituição desta substância foi deduzida com base na análise de dados espetrais<sup>1-3</sup> e de produtos de degradação<sup>2</sup> e confirmada por síntese<sup>2,4</sup>. A configuração absoluta 3S foi definida por dispersão ótica rotatória (ORD)<sup>5,6</sup>. As novas técnicas de RMN atualmente disponíveis através de equipamentos modernos teriam facilitado esta tarefa. Este trabalho descreve resultados que permitiram a completa atribuição dos deslocamentos químicos dos átomos de  $^1\text{H}$  e  $^{13}\text{C}$  deste produto natural (**1**) e de seu derivado diacetilado (**1a**). Os dados obtidos eliminaram poucas dúvidas, impostas pelas dificuldades enfrentadas com sabedoria científica quando os químicos ainda não dispunham destas novas técnicas, e demonstram como a ressonância magnética nuclear, oferecendo novas experiências unidimensionais (1D) e bidimensionais (2D) constitui um dos métodos mais eficientes na elucidação estrutural de substâncias orgânicas naturais ou sintéticas. Utilizaram-se as técnicas DEPT (Distortionless Enhancement by Polarization Transfer),  $^1\text{H} \times ^1\text{H}$ -COSY [CORrelation SpectroscopY, correlação espectroscópica homonuclear bidimensional (2D) de hidrogênio e hidrogênio ( $^1\text{H} \times ^1\text{H}$ )],  $^1\text{H} \times ^{13}\text{C}$ -COSY [correlação espectroscópica heteronuclear bidimensional (2D) de hidrogênio e carbono-13 ( $^1\text{H} \times ^{13}\text{C}$ )] através de uma ligação ( $^1\text{J}_{\text{CH}}$ ) e a longa distância [duas ( $^2\text{J}_{\text{CH}}$ ) e três ( $^3\text{J}_{\text{CH}}$ ) ligações (COLOC=CORrelation spectroscopy via LOng-range Couplings)] e NOE (Nuclear Overhauser Effect) por subtração de espectros<sup>7,8</sup>. Os espectros DEPT permitiram reconhecer os sinais correspondentes a carbonos primários ( $\theta=90^\circ$ , pulso de  $90^\circ$  na modulação de  $^1\text{H}$  e aparecimento somente de sinais de CH), secundários e terciários ( $\theta=135^\circ$ , aparecimento dos sinais de CH e  $\text{CH}_3$  em fase oposta dos de  $\text{CH}_2$ , que após a subtração dos sinais de CH obtidos com  $\theta=90^\circ$  forneceu os números de CH,  $\text{CH}_2$  e  $\text{CH}_3$ ). Os sinais de carbonos quaternários foram obtidos pela diferença entre os sinais dos espectros totalmente desacoplados (todos os sinais dos átomos de carbono como singletos) e os espectros modulados pela interação entre  $^1\text{H}$ - $^{13}\text{C}$  ( $^1\text{J}_{\text{CH}}$ ) para distinção entre os sinais CH,  $\text{CH}_2$  e  $\text{CH}_3$  ( $\theta=90^\circ$  e  $135^\circ$ ). As interações spin-spin entre os átomos de hidrogênio e entre os átomos de hidrogênio e carbono-13 foram reveladas pelas experiências bidimensionais de correlação homonuclear ( $^1\text{H} \times ^1\text{H}$ -COSY) e heteronuclear ( $^1\text{H} \times ^{13}\text{C}$ :  $^1\text{J}_{\text{CH}}$  e  $^2\text{J}_{\text{CH}}$  e  $^3\text{J}_{\text{CH}}$ ), respectivamente. Os NOEs foram obtidos por diferença espectral, subtraindo-se os espectros registrados

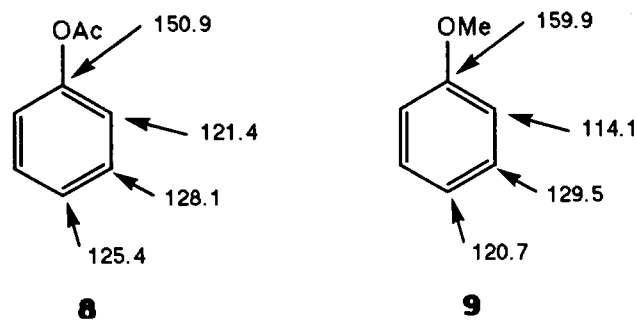
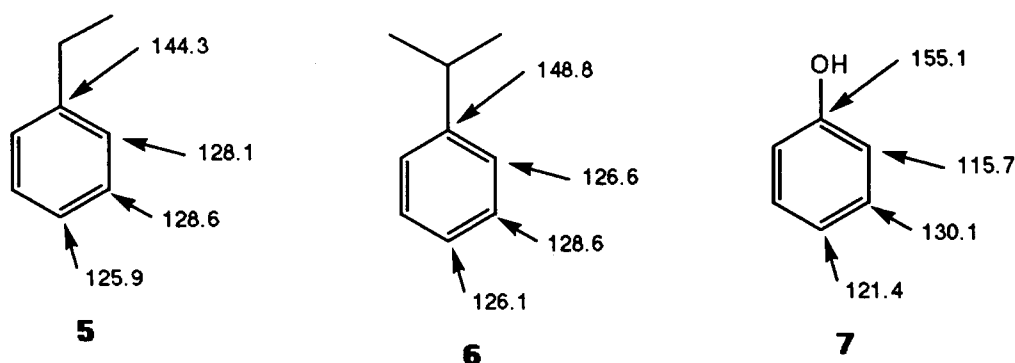
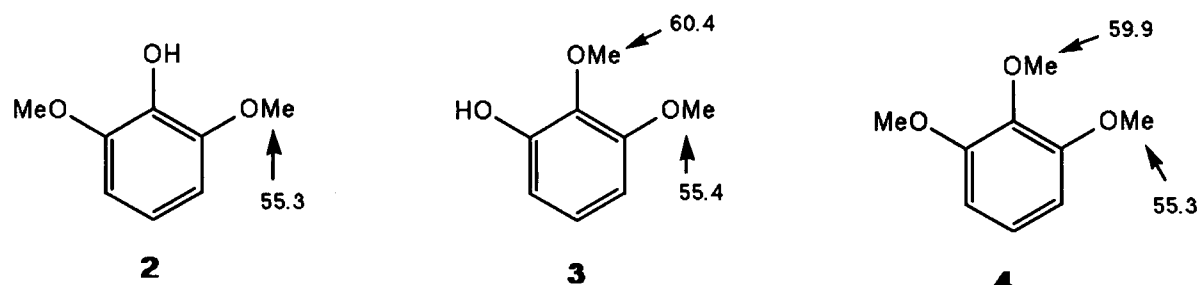
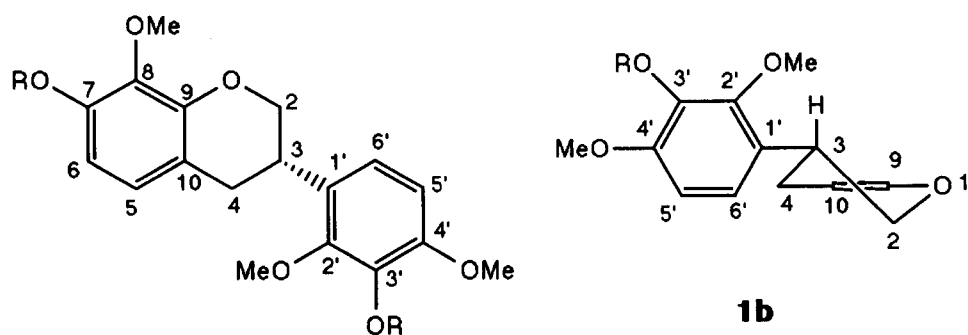
com irradiação nas freqüências de absorção de átomos de hidrogênio daqueles obtidos com irradiação em região livre de absorção<sup>7</sup>.

## RESULTADOS E DISCUSSÃO

Os espectros de RMN  $^1\text{H}$  de **1** e **1a** revelaram os sinais de hidrogênios aromáticos com deslocamentos químicos muito próximos (Tabela 1). A interpretação destes espectros apoiou-se nas experiências homonuclear ( $^1\text{H} \times ^1\text{H}$ -COSY), garantindo-se as interações de H-5 [1:  $\delta$  6,70 ( $d, J=8,3$  Hz); **1a**:  $\delta$  6,77 ( $d, J=8,3$  Hz)] com H-6 [1:  $\delta$  6,50 ( $d, J=8,3$  Hz); **1a**:  $\delta$  6,56 ( $d, J=8,3$  Hz)] e de H-5' [1:  $\delta$  6,58 ( $d, J=8,6$  Hz); **1a**:  $\delta$  6,71 ( $d, J=8,7$  Hz)] com H-6' [1:  $\delta$  6,62 ( $d, J=8,6$  Hz); **1a**:  $\delta$  6,91 ( $d, J=8,7$  Hz)], além dos acoplamentos geminados e vicinais do anel heterocíclico [1:  $\delta$  3,99 ( $t, J=10,4$  Hz, H-2ax), 4,39 ( $dd, J=10,4$  e  $J=3,0$  Hz, H-2eq), 3,6-3,4 ( $m$ , H-3), 2,92 ( $dd, J=10,0$  e  $15,0$  Hz, H-4ax), 2,82 ( $dd, J=15,0$  e  $5,0$  Hz, H-4eq); **1a**:  $\delta$  3,99 ( $t, J=10,4$  Hz, H-2ax), 4,39 ( $dd, J=10,4$  e  $3,0$  Hz, H-2eq), 3,6-3,4 ( $m$ , H-3), 3,1-2,8 ( $m$ , H-4ax e H-4eq)]. Como previsto, os sinais dos hidrogênios do anel heterocíclico permaneceram praticamente inalterados nos espectros de RMN  $^1\text{H}$  de **1** e **1a** (Tabela 1). O maior deslocamento químico do H-4ax ( $\delta$  2,92) verificado na comparação com o do H-4eq ( $\delta$  2,82) pode ser justificado pela orientação destes átomos de hidrogênio em relação ao efeito anisotrópico do grupo arila sustentado pelo C-3.

A correlação do deslocamento químico 6,70 ppm com H-5' de **1a** foi estabelecida inequivocamente pelo NOE observado (4,3%) no sinal deste hidrogênio por irradiação dos hidrogênios do grupo metoxila ( $\delta$  3,79) localizado no C-4'. A atribuição do sinal com deslocamento químico 3,79 ppm para o grupo MeO-4' foi assegurada pelo espectro bidimensional de correlação heteronuclear ( $^1\text{H} \times ^{13}\text{C}$ -COSY -  $^1\text{J}_{\text{CH}}$ ), que revelou a ligação destes átomos de hidrogênio com o carbono representado pelo sinal em 56,02 ppm. Os dois sinais restantes de átomos de carbono metoxílico (1:  $\delta$  60,89 e 60,84; **1a**:  $\delta$  61,57 e 60,57) apresentaram-se com deslocamentos químicos característicos de grupos metoxila localizados em posições estericamente impedidas (MeO-2' e MeO-8), como demonstram claramente as substâncias modelo 2, 3 e 4<sup>9</sup>. Além disto, a interação de C-10 [ $\delta$  121,45 ( $s$ )] de **1a** com o hidrogênio H-6 ( $\delta$  6,56) foi revelada pelo espectro bidimensional de correlação heteronuclear ( $^1\text{H} \times ^{13}\text{C}$ -COSY) a longa distância, neste caso acoplamento através de três ligações ( $^3\text{J}_{\text{CH}}$ ). A definição das posições de absorção do C-1 e do C-10, dois carbonos  $sp^2$  quaternários com menores valores de deslocamento químico (não estão ligados a átomos de oxigênio) tornou-se relativamente fácil quando se considerou o número

\* Pesquisador Aposentado do CNPq.



**Tabela 1.** Dados de RMN  $^1\text{H}$  e  $^{13}\text{C}$  da duartina (1) e seu derivado acetilado (1a), registrados em  $\text{CDCl}_3$  e TMS como referência interna.

C	$\delta_c^{\text{a}}$	Correlação $^1\text{H}$ e $^{13}\text{C}$ ( $^1\text{H} \times ^{13}\text{C}$ -COSY) <sup>b</sup>			Correlação de $^1\text{H}$ e $^1\text{H}$ <sup>c</sup>	
		$\delta_{\text{H}}^{\text{d}}$ (J,Hz), $^1\text{J}_{\text{CH}}^{\text{d}}$	$^2\text{J}_{\text{CH}}$	$^3\text{J}_{\text{CH}}$	$^1\text{H} \times ^1\text{H}$ -COSY	NOE(%)
2 (1)	70,41(t)	3,99(t,J=10,4, Hax) 4,37(dd,J=10,4 e 3,0, Heq)			H-2eq, H-3 H-2qx, H-3	
	(1a)	70,20(t) 3,99(t,J=10,4, Hax) 4,39(dd,J=10,4 e 3,0, Heq)		H-4	H-2eq, H-3 H-2ax, H-3 H-2eq, H-2ax, H-4eq, H-4ax	
3 (1)	31,48(d)	3,6-3,4 (m)			H-2eq, H-2ax, 2H-4 H-4ax, H-3	
	(1a)	31,09(d) 31,39	2,02(dd,J=15,0 e 5,0, Heq) 2,92(dd,J=15,0 e 10,0, Hax)		H-4eq, H-3	MeO-2' (7,3)
4 (1)	31,76(t)	3,6-3,4 (m)			H-3	
	(1a)	124,15(d) 123,72(d)	6,70(d,J=8,3) 6,77(d,J=8,3)		H-6	
5 (1)	107,02(d)	6,50(d,J=8,3)			H-6	
	(1a)	113,93(d)	6,56(d,J=8,3)		H-5	
7 (1)	147,49(s)			H-5		
	(1a)	142,13(s)		H-5		
8 (1)	134,78(s)			H-6, MeO-8		
	(1a)	140,10(s)		H-6, MeO-8		
9 (1)	147,07(s)			H-2		
	(1a)	148,10(s)		H-5		
10 (1)	115,23(s)		H-4	H-6		
	(1a)	121,45(s)	H-4	H-6		
1' (1)	127,18(s)		H-6'			
	(1a)	126,90(s)		H-5' H-6', MeO-2' H-6', MeO-2'		
2' (1)	145,25(s)					
	(1a)	151,31(s)				
3' (1)	138,61(s)			H-5'		
	(1a)	134,00(s)		H-5'		
4' (1)	146,64(s)		H-5'	MeO-4'		
	(1a)	150,91(s)	1(s)	H-6'		
5' (1)	106,44(d)	6,58(d,J=8,6)	H-6'		H-6'	
	(1a)	107,53(d)	6,71(d,J=8,7)		H-6'	MeO-4' (4,3)
6' (1)	116,86(d)	6,62(d,J=8,6)	H-5'		H-5'	
	(1a)	124,03(d)	6,91(d,J=8,7)		H-5'	
MeO-2'	(1)	60,89(q)				
	(1a)	61,57(q)				
MeO-4'	(1)	56,10(q)				
	(1a)	56,02(q)				
MeO-8	(1)	60,84(q)				
	(1a)	60,57(q)				
HO (1)		5,65(s)				
		5,58(s)				
AcO (1a)	169,33(s)			Me 2,30		
	20,60(s)	2,30(s)				
	168,45(s)			Me 2,34		
	20,42(q)	2,34				

a As multiplicidades dos sinais dos átomos de carbono-13 foram deduzidas através da técnica DEPT (Distortionless Enhancement by Polarization Transfer).

b Estes dados foram deduzidos de espectros bidimensionais (2D) de correlação heteronuclear de hidrogênio e carbono-13 ( $^1\text{H} \times ^{13}\text{C}$ -COSY) que acoplam através de uma ligação ( $^1\text{J}_{\text{CH}}$ ) e a longa distância ( $^2\text{J}_{\text{CH}}$  e  $^3\text{J}_{\text{CH}}$ ).

c Estes resultados foram obtidos de espectros bidimensionais (2D) de correlação homonuclear de hidrogênio e hidrogênio ( $^1\text{H} \times ^1\text{H}$ -COSY) e experiências NOE.

d Os valores de J (Hz) foram deduzidos dos espectros unidimensionais (1D) de RMN  $^1\text{H}$  (200 MHz).

de substituintes dos átomos de carbono benzílicos (C-3 e C-4), reconhecendo-se um efeito  $\beta$  adicional no carbono metínico CH-3 quando comparado com o grupo metilênico  $\text{CH}_2$ -4. Por isto, o maior deslocamento químico foi atribuído ao C-1' [ $\delta$  126,90 (s)], restando o sinal em  $\delta$  115,23 (s) para o C-10. As substâncias modelo 5 e 6<sup>8</sup> foram utilizadas para demonstrar este tipo de influência (efeito  $\beta$ ). A modificação

( $\Delta\delta = 6,22$  ppm) do deslocamento químico de C-10 de 1 [ $\delta$  115,23 (s)] observada na comparação com a posição de absorção deste carbono no derivado acetilado 1a [ $\delta$  121,45 (s)] serviu para cofirmação desta interpretação e para garantir a localização de um grupo hidroxila no C-7. O deslocamento químico do C-1' permaneceu praticamente inalterado (1: $\delta$  127,18; 1a: $\delta$  126,90), indicando que o outro grupo hidroxila

ocupa posição *meta* em relação a este átomo de carbono. As modificações provocadas pela esterificação do grupo hidroxila fenólica nos deslocamentos químicos dos átomos de carbono *ortho*, *meta* e *para* podem ser verificadas nos modelos 7 e 8<sup>8</sup>. Assim, garantiu-se os deslocamentos químicos de C-10 e do H-6 e, consequentemente, de H-5' e H-6' (Tabela 1). As interações de C-10 ( $\delta$  121,45) com H-6 [ $\delta$  6,56 ( $d,J=8,3$ )] e de C-1' ( $\delta$  126,90) com H-5' [ $\delta$  6,71 ( $d,J=8,7$ )] observadas no espectro bidimensional de correlação heteronuclear a longa distância de hidrogênio e carbono-13 [ $^1\text{H}$  $\times$  $^{13}\text{C}$ -COLOC ( $^2\text{J}_{\text{CH}}$  e  $^3\text{J}_{\text{CH}}$ )] de 1a confirmaram estas deduções. Após a definição dos deslocamentos químicos dos átomos de hidrogênio H-5, H-6, H-5' e H-6', foi possível estabelecer os deslocamentos químicos dos átomos de carbono correspondentes usando-se espectros bidimensionais de correlação heteronuclear de hidrogênio e carbono-13 através de uma ligação ( $^1\text{H}$  x  $^{13}\text{C}$ -COSY -  $^1\text{J}_{\text{CH}}$ ) de 1 e 1a (Tabela 1). Estes resultados demonstraram claramente que os deslocamentos paramagnéticos de H-6 ( $\Delta\delta=0,06$  ppm) e H-6' ( $\Delta\delta=0,29$  ppm), deduzidos da comparação dos espectros de RMN  $^1\text{H}$  de 1 e 1a, são significativamente diferentes e contrariam a afirmação generalizada quando atribui efeito de acetilação maior para átomos de hidrogênio localizados em

posição *ortho* do que em *para* de sistemas aromáticos benzenóides. Obviamente, quando a carbonila do grupo acetoxila (OAc) encontra dificuldade estérica para assumir condição de coplanaridade com o anel aromático, os átomos de hidrogênio podem atingir a região de blindagem anisotrópica do C=O e, consequentemente, os deslocamentos paramagnéticos de hidrogênios localizados em posição *ortho* tornam-se menores do que em *para* (efeito mesomérico sem ação anisotrópica de blindagem).

Para atribuir inequivocavelmente os deslocamentos químicos dos átomos de carbono quaternários restantes C-2', C-3', C-7, C-8 e C-9 utilizou-se o espectro de RMN bidimensional de correlação heteronuclear de hidrogênio e carbono-13 a longa distância ( $^1\text{H}$  x  $^{13}\text{C}$ -COSY -  $^n\text{J}_{\text{CH}}$ ,  $n=2$  e 3) da duartina (1) e do derivado acetilado 1a (Tabela 1), observando-se no caso de 1a (e.g.) que o C-2' ( $\delta$  151,32) interage ( $^3\text{J}_{\text{CH}}$ ) com o H-6' ( $\delta$  6,91), o C-3' ( $\delta$  134,00) com H-5' ( $\delta$  6,71;  $^3\text{J}_{\text{CH}}$ ), o C-4' ( $\delta$  150,91) com o H-6' ( $\delta$  6,91;  $^3\text{J}_{\text{CH}}$ ) e com os hidrogênios do grupo metoxila ( $\delta$  3,79;  $^3\text{J}_{\text{CH}}$ ) sustentado pelo C-4', o C-7 ( $\delta$  142,13) com o H-5 ( $\delta$  6,77;  $^3\text{J}_{\text{CH}}$ ), o C-8 ( $\delta$  140,10) com o H-6 ( $\delta$  6,56;  $^3\text{J}_{\text{CH}}$ ) e com os hidrogênios de grupo metoxila ( $\delta$  3,83;  $^3\text{J}_{\text{CH}}$ ) ligado ao C-8 e o C-9 ( $\delta$  148,10) com o H-5 ( $\delta$  6,77;  $^3\text{J}_{\text{CH}}$ ). Neste espectro observou-se ainda a interação

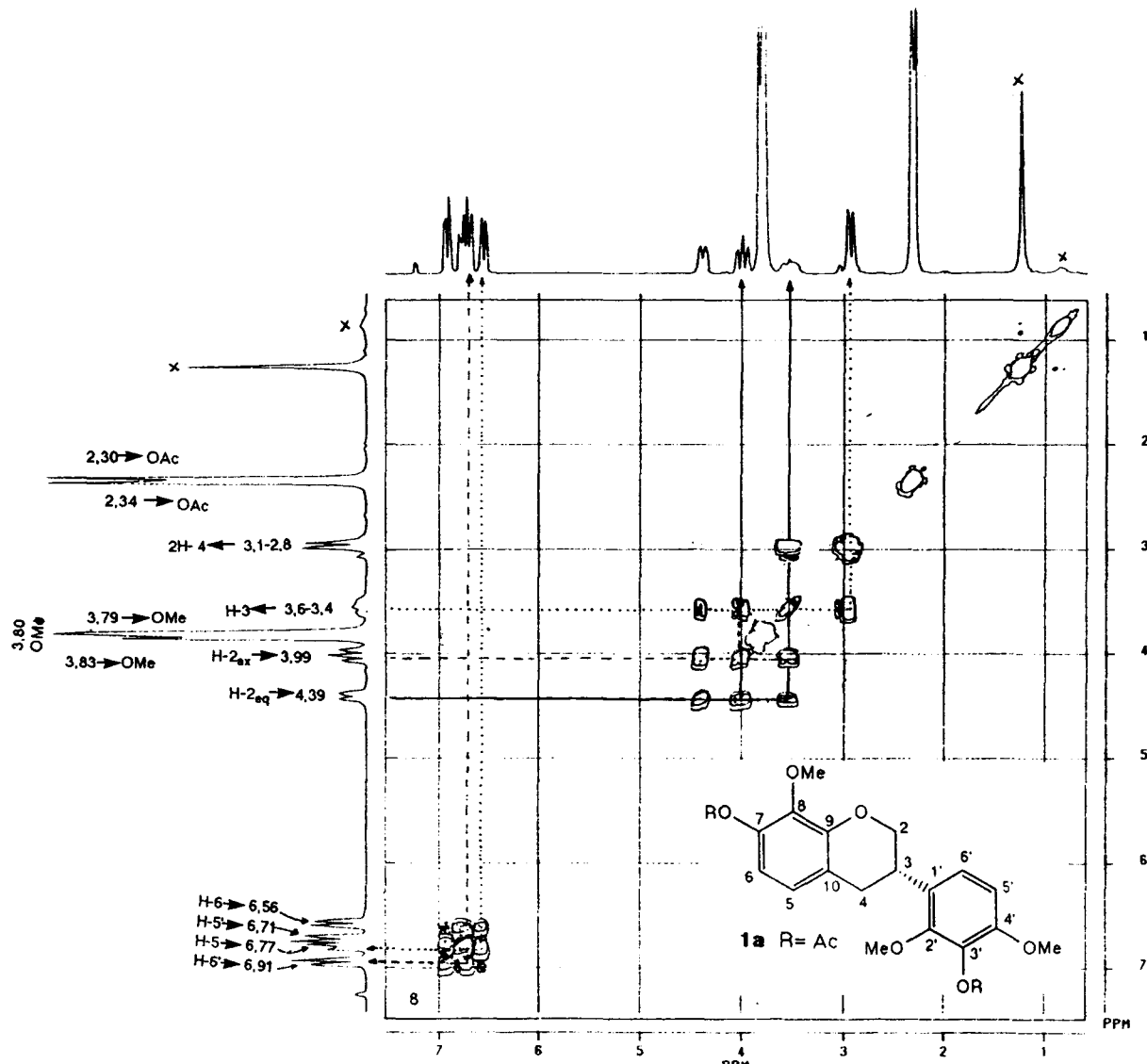


Figura 1. Espectro bidimensional de correlação homonuclear de hidrogênio e hidrogênio ( $^1\text{H}$  $\times$  $^1\text{H}$ -COSY) de 1a.

de C-2 ( $\delta$  70,20) com H-4 ( $\delta$  3,1-2,8;  $^3J_{CH}$ ) e os acoplamentos ( $^3J_{CH}$ ) dos carbonos carbonílicos dos grupos acetoxila que absorvem em  $\delta$  169,33 e 168,45 com os átomos de hidrogênio representados pelos sinais simples em  $\delta$  2,30 e 2,34, respectivamente (Tabela 1). Conhecendo-se a correlação heteronuclear de hidrogênio e carbono-13 através de uma ligação ( $^1J_{CH}$ ), revelada pela correspondente experiência bidimensional, foi possível definir as absorções dos átomos de carbono e hidrogênio dos dois grupos acetoxila (Tabela 1):  $\delta$  169,33 interage com os hidrogênios com deslocamento químico  $\delta$  2,30; ( $^2J_{CH}$ ) e o carbono metílico com  $\delta$  20,60 acopla ( $^1J_{CH}$ ) com hidrogênios com  $\delta$  2,30;  $\delta$  168,45 com  $\delta$  2,34 ( $^2J_{CH}$ ) e  $\delta$  20,42 com  $\delta$  2,34 ( $^1J_{CH}$ ).

As atribuições dos deslocamentos químicos dos átomos de carbono C-3 e C-4 de **1** [ $\delta$  31,48 (C-3) e 31,39 (C-4)] e de **1a** [ $\delta$  31,09 (C-3) e 31,76 (C-4)] foram garantidos pelo espectro de RMN bidimensional de correlação heteronuclear de hidrogênio e carbono-13 através de uma ligação ( $^1J_{CH}$ ), além dos outros átomos de carbono hidrogenados.

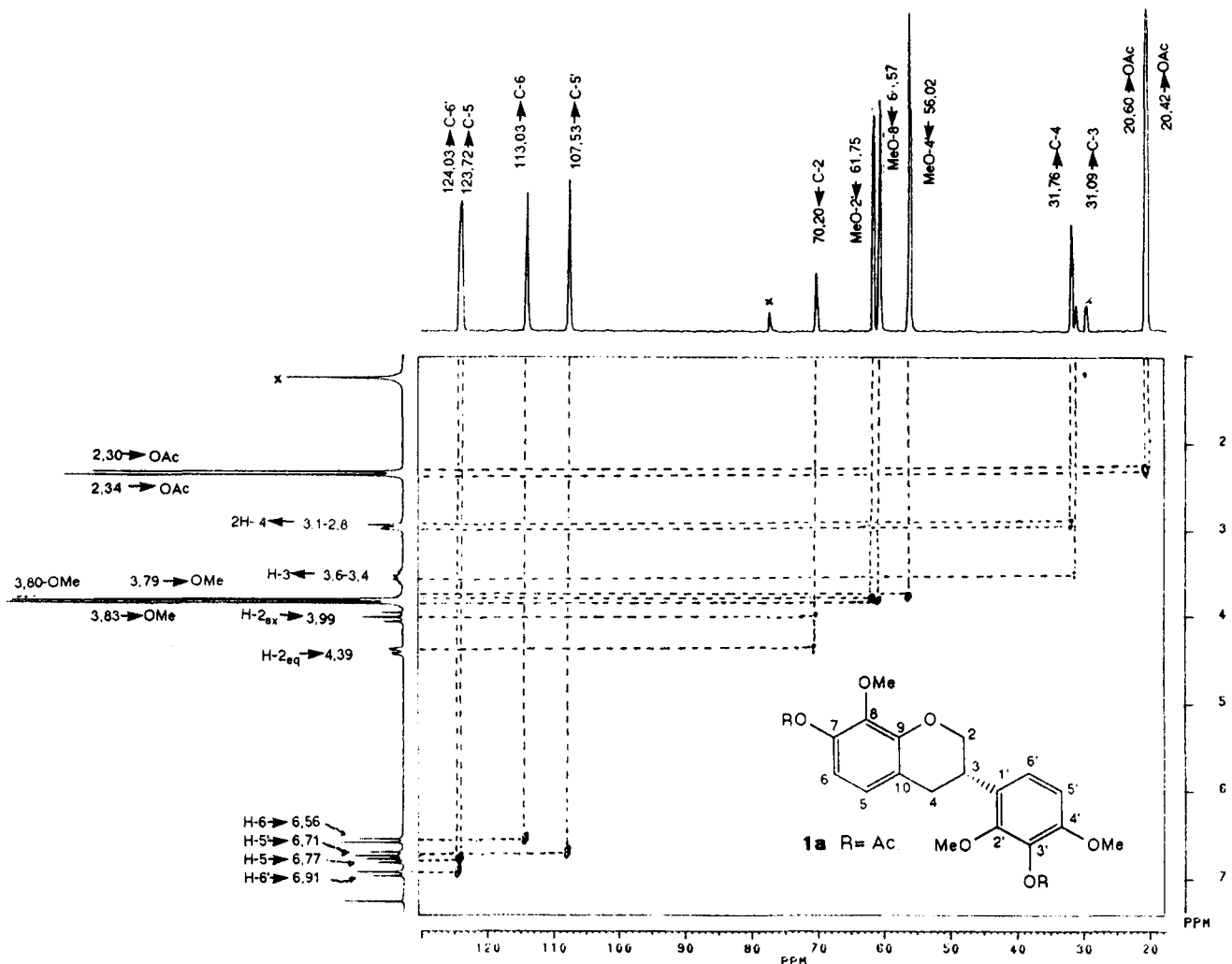
As modificações significativas nos deslocamentos químicos dos átomos de carbono-13 aromáticos C-2', C-3', C-4', C-6', C-7, C-9 e C-10 de **1** reveladas pela comparação com os dados correspondentes do derivado acetilado **1a** (Tabela 1) são consistentes com as alterações eletrônicas provocadas pela conversão dos grupos hidroxila em acetoxilas: blindagem dos carbono *ipso* C-3' e C-7 (devido aos efeitos  $\gamma$  exercidos pelo átomo de oxigênio carbonílico e pelo grupo metila da função acetoxila) e diminuição da capacidade de blindagem resultan-

te do efeito mesomérico de átomo de oxigênio sobre posições *ortho* e *para* [meta praticamente inalterada ou pequena blindagem (e.g. 7 e 8)], devido à presença de grupo carbonila (OAc) retirador de elétrons (indutivo e mesomérico), atenuando a deslocalização dos elétrons não compartilhados do heteroátkomo. A comparação dos deslocamentos químicos indicados nas substâncias modelo 7 e 8 demonstra claramente a influência destes efeitos eletrônicos<sup>8</sup>.

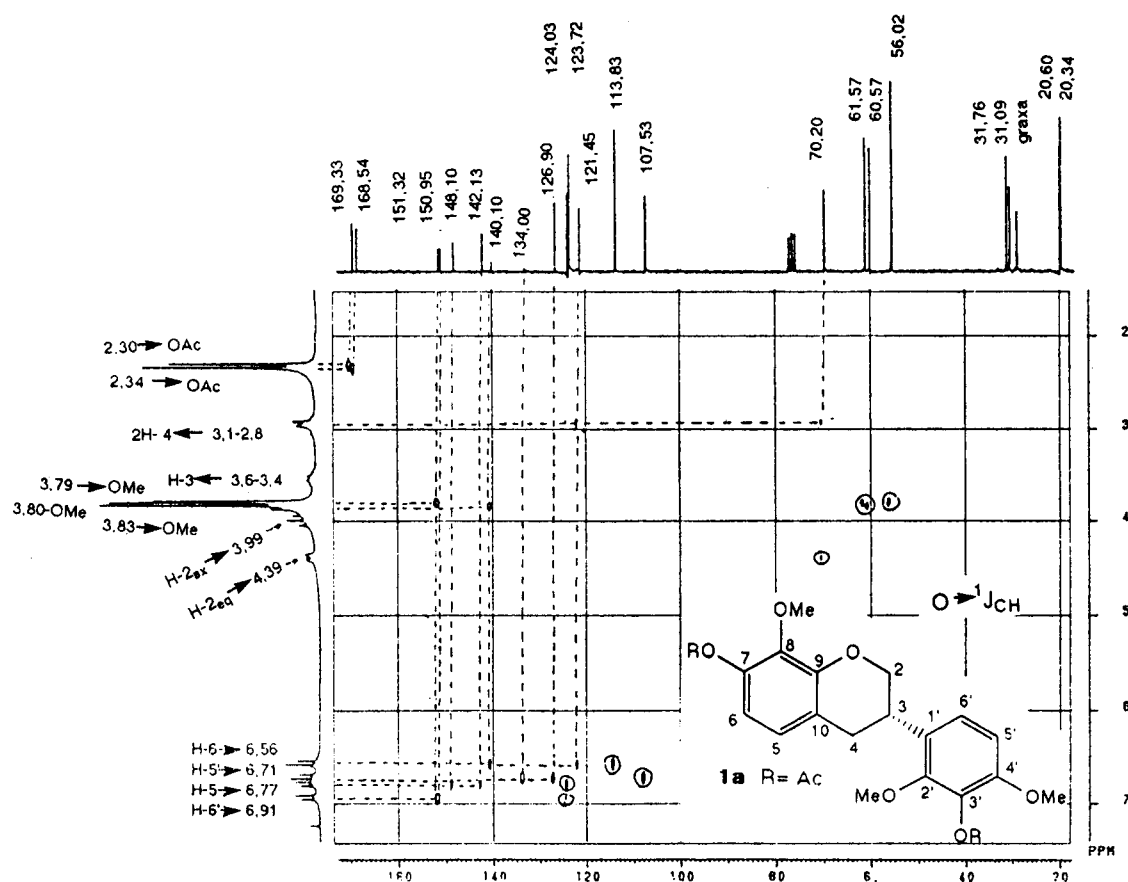
O NOE 7,3% observado no sinal de H-3 [ $\delta$  3,6-3,4 (m)] quando se irradiou na freqüência de absorção dos hidrogênios metoxílicos representados pelo singuleto em 3,80 ppm (MeO-2') no espectro de RMN  $^1H$  de **1a** serviu também para definir a posição ocupada pelo grupo, além de apontar para a conformação adotada pelo anel B em relação sistema heterocíclico (**1b**), já que o valor de  $J=10,4$  Hz ( $t,J$  geminado= $J$  vicinal) observado no sinal em 3,99 ppm (**1** e **1a**) correspondente ao H-4 axial exige a localização de H-3 em posição axial (**1b**). O sinal em 3,80 ppm foi correlacionado com o carbono que absorve em 61,57 ppm no espectro  $^1H \times ^{13}C$ -COSY -  $^1J_{CH}$ .

Todos os dados descritos permitem atribuir os deslocamentos químicos dos átomos de hidrogênio e carbono da quartina (**1**) e de seu derivado acetilado (**1a**) de forma definitiva (Tabela 1).

As Figuras 1 ( $^1H \times ^1H$ -COSY), 2 ( $^1H \times ^{13}C$ -COSY -  $^1J_{CH}$ ) e 3 [ $^1H \times ^{13}C$ -COSY -  $^{n}J_{CH}$  ( $n=2,3$ ), COLOC] correspondem aos espectros bidimensionais de correlação homonuclear de  $^1H \times ^1H$  (Figura 1) e heteronuclear de  $^1H \times ^{13}C$  (Figuras 2, 3) de **1a**, selecionadas para a ilustração das novas experiências bidimensionais de RMN usadas neste artigo.



**Figura 2.** Espectro bidimensional de correlação heteronuclear de hidrogênio e carbono 13 ( $^1H \times ^{13}C$ -COSY -  $^1J_{CH}$ ) de **1a**.



**Figura 3.** Espectro bidimensional de correlação heteronuclear de hidrogênio e carbono 13 a longa distância [ $^1\text{H}$  x  $^{13}\text{C}$ -COSY-  $^n\text{J}_{\text{CH}} = 2,3$ , COLOC] de **1a**.

## PARTE EXPERIMENTAL

Os espectros de RMN uni-(1D) e bidimensionais (2D) foram registrados em um espetrômetro Bruker AC-200, operando a 200 MHz para hidrogênio (RMN  $^1\text{H}$ ) e 50,3 MHz para carbono-13 (RMN  $^{13}\text{C}$ ) com pulsos de freqüência e transformada de Fourier (FT). As amostras para análise foram dissolvidas em  $\text{CDCl}_3$  contendo TMS como referência interna e colocadas em tubo de 5 mm de diâmetro. As sequências de pulso utilizadas nas experiências bidimensionais estão contidas nos programas Bruker XHCORR-AU, para correlação heteronuclear de hidrogênio e carbono-13 através de uma ligação ( $D_3=0,5/J_{\text{CH}}$  e  $D_4=0,5/2J_{\text{CH}}$ , modulado com  $^1\text{J}_{\text{CH}}=140,0$  Hz) e a longa distância [ $D_3=0,5/J_{\text{CH}}$  e  $D_4=0,5/2J_{\text{CH}}$ , modulado com  $^n\text{J}_{\text{CH}}=7,0$  Hz ( $n=2$  e  $3$ )], e COSY.AU, para correlação homonuclear ( $^1\text{H}$  x  $^1\text{H}$ -COSY). Nas experiências unidimensionais de NOE (=Nuclear Overhauser Effect) usou-se o programa Bruker NOEDIFF.AU e de DEPT (=Distortionless Enhancement by Polarization Transfer) o DEPTVAR.AU ( $\phi=90^\circ$  e  $\phi=135^\circ$ ).

## AGRADECIMENTOS

Os autores agradecem as bolsas de pesquisa do CNPq e os auxílios recebidos do Conselho Nacional de Desenvolvimento Científico e Tecnológico (CNPq), da Coordenação de Aperfeiçoamento de Pessoal do Ensino Superior (CAPES) e da Fundação de Amparo à Pesquisa do Estado do Rio de Janeiro (FAPERJ). Agradecemos também ao “desconhecido” (não lembramos quem da

equipe do Prof. Dr. Otto R. Gottlieb forneceu a amostra de duartina em 1976) e a Osmar Goulart Cunha pela digitação.

## REFERÊNCIAS

1. Kurosawa, W.; Ollis, W.D.; Redman, B.T.; Oliveira, A.B. de; Gottlieb, O.R. e Alves, H.M.; *J.Chem.Soc.Chem.Commun.* (1968), 1263.
2. Ollis, W.D.; Sutherland, I.O.; Alves, H.M. e Gottlieb, O.R.; *Phytochemistry* (1978), 17, 1401.
3. Wenkert, E. e Gottlieb, H.E.; *Phytochemistry* (1977), 16, 1811.
4. Farkas, I.; Gottsegen, A. e Nográdi, M.; *J.Chem.Soc.Perkin I* (1974), 305.
5. Kurosawa, K.; Ollis, W.D.; Redman, B.T.; Sutherland, I.O.; Gottlieb, O.R. e Alves, H.M.; *J.Chem.Soc.Chem.Commun.* (1968), 1265.
6. Kurosawa, K.; Ollis, W.D.; Redman, B.T.; Sutherland, I.O.; Alves, H.M. e Gottlieb, O.R.; *Phytochemistry* (1978), 17, 1423.
7. Derome, A.E.; *Modern NMR Techniques for Chemistry Research*, Pergamon Press, Oxford (1988).
8. Breitmaier, E. e Voelter, W.; *Carbon-13 NMR Spectroscopy: High-Resolution Methods and Applications in Organic Chemistry and Biochemistry*, (3<sup>rd</sup>. Edition), VCH, Weinheim (1987).
9. Gottlieb, H.E.; *Israel J.Chem.* (1977), 16, 57.